

ПЛОСКАЯ КОНТАКТНАЯ ЗАДАЧА В ЭЛЕКТРОДИНАМИКЕ
СПЛОШНЫХ СРЕД ПРИ НАЛИЧИИ ЭФФЕКТА ХОЛЛА

Ю. П. Емец

(Киев)

Дается решение задачи о распределении плотности тока, напряженности и потенциала электрического поля в окрестности контакта двух проводящих сред, которые обладают различными скалярными электропроводностями σ и постоянными Холла R_H . Такая задача встречается в теории магнитной гидродинамики и в физике полупроводников, например, при исследовании полей в кусочно-неоднородных средах или на электродах в магнитогидродинамических каналах и электротехнических устройствах.

Если одна из двух сред обладает совершенными свойствами ($\sigma = \infty$, $R_H = 0$), то в рамках приближенной теории (пренебрегается индуцированным магнитным полем) задача сводится к нахождению аналитической функции в области, занимаемой второй средой, и ее решение часто можно найти при помощи конформного отображения области на многоугольник [1, 2]. В иных случаях электрическое поле в каждой среде зависит от физических свойств и геометрии областей двух сред совместно и требуется найти решение, сопряженное на контакте. Удобным математическим аппаратом для решения таких задач служит теория сингулярных интегральных уравнений [3, 4].

1. Приведем решение задачи, предполагая, что электрический контакт осуществляется между двумя электропроводными телами. Будем считать, что участок контакта мал по сравнению с радиусом кривизны обоих тел, тогда удобно каждое тело представить полуплоскостями с общей границей на участке ab (фиг. 1, а, б).



Фиг. 1

Положим, что внешнее магнитное поле $\mathbf{H}(0, 0, H_z)$ всюду однородно, но, в общем случае, не одинаковое в верхней и нижней полуплоскостях и направлено нормально к векторам тока $\mathbf{j}(x, y)$ и напряженности электрического поля $\mathbf{E}(x, y)$; собственным магнитным полем рассматриваемых токов пренебрежем. Из системы

$$\begin{aligned} \mathbf{j} &= \sigma \mathbf{E} - \frac{\omega \tau}{H} \mathbf{j} \times \mathbf{H}, \quad \operatorname{div} \mathbf{j} = 0 \\ \operatorname{rot} \mathbf{E} &= 0, \quad \operatorname{div} \mathbf{H} = 0, \quad \omega \tau = R_H \sigma H \end{aligned} \quad (1.1)$$

и принятых предположений вытекает, что поле тока удовлетворяет уравнениям $\operatorname{div} \mathbf{j} = 0$ и $\operatorname{rot} \mathbf{j} = 0$. Поэтому можно ввести, как и в работе [5], комплексный потенциал электрического тока $F(z)$

$$\begin{aligned} F(z) &= P(x, y) + iQ(x, y) \quad (z = x + iy) \\ \frac{dF(z)}{dz} &= \frac{\partial P}{\partial x} + i \frac{\partial Q}{\partial x} = j_x(x, y) - ij_y(x, y), \quad \frac{dF(z)}{dz} = j(z) \quad (1.2) \end{aligned}$$

Здесь P и Q — потенциальная и силовая функции тока соответственно.

Обозначим полуплоскость $\operatorname{Im} z > 0$ через S^+ , а полуплоскость $\operatorname{Im} z < 0$ — через S^- ; за положительное направление обхода на действительной оси примем то, которое оставляет область S^+ слева.

Решается задача о распределении полевого тока, протекающего через контакт. Имеем следующие граничные условия: на участке контакта нормальная компонента тока и касательная компонента напряженности электрического поля непрерывны, на остальных участках действительной оси нормальная компонента тока равна нулю в каждой области. Эти условия приводят к следующей краевой задаче (индексы 1 и 2 относятся соответственно к S^+ и S^-):

$$\begin{aligned} \operatorname{Im} j_1(x) &= \operatorname{Im} j_2(x), \quad -l < x < l \quad \text{при } y = 0 \\ \operatorname{Re} \left\{ \frac{1 + i\omega_1 \tau_1}{\sigma_1} j_1(x) \right\} &= \operatorname{Re} \left\{ \frac{1 + i\omega_2 \tau_2}{\sigma_2} j_2(x) \right\}, \quad -l < x < l \quad \text{при } y = 0 \quad (1.3) \\ \operatorname{Im} j_1(x) &= \operatorname{Im} j_2(x) = 0, \quad |x| > l \quad \text{при } y = 0 \end{aligned}$$

Здесь использована комплексная запись закона Ома (1.1)

$$j(z) = j_x(x, y) - ij_y(x, y) = \frac{-\sigma}{1 + i\omega\tau} \left(\frac{\partial U}{\partial x} - i \frac{\partial U}{\partial y} \right) \quad (1.4)$$

где U — электростатический потенциал.

Необходимо указать еще расположение источников и стоков тока в S^+ и S^- . Ради упрощения полученных ниже формул положим, что в S^+ в точке $z = \infty$ расположен источник конечной интенсивности, а в S^- в точке $z = -\infty$ — сток. Тогда получаем условие на бесконечности

$$j_i(z) = \frac{C_{ii}}{z} + O(z^{-2}) \quad (i = 1, 2) \quad \text{при } |z| \rightarrow \infty \quad (1.5)$$

2. Для решения задачи введем две кусочно-голоморфные функции

$$\begin{aligned} \Psi_1(z) &= \begin{cases} \Psi_1^+(z) & \text{при } z \in S^+, \quad \Psi_1^+(z) = j_1(z) \\ \Psi_1^-(z) & \text{при } z \in S^-, \quad \Psi_1^-(z) = \overline{j_1(\bar{z})} \end{cases} \\ \Psi_2(z) &= \begin{cases} \Psi_2^+(z) & \text{при } z \in S^+, \quad \Psi_2^+(z) = \overline{j_2(\bar{z})} \\ \Psi_2^-(z) & \text{при } z \in S^-, \quad \Psi_2^-(z) = j_2(z) \end{cases} \end{aligned} \quad (2.1)$$

Нормальную компоненту тока на контакте обозначим через $h(x)$ и положим, что она удовлетворяет условию Гельдера.

На основании первого и последнего граничных условий (1.3) функции $\Psi_i(z)$ ($i = 1, 2$) можно выразить при помощи интеграла Шварца через $h(x)$

$$\Psi_1(z) = -\frac{1}{\pi} \int_{-l}^l \frac{h(x) dx}{x - z}, \quad \Psi_2(z) = \frac{1}{\pi} \int_{-l}^l \frac{h(x) dx}{x - z} \quad (2.2)$$

Эти функции, очевидно, удовлетворяют на бесконечности условию (1.5). Разложение функций $\Psi_1(z)$ и $\Psi_2(z)$ в бесконечно удаленных точках соответственно в областях S^+ и S^- дает

$$\begin{aligned} \Psi_1(z) &= \frac{z^{-1}}{\pi} \int_{-l}^l h(x) dx + \frac{z^{-2}}{\pi} \int_{-l}^l x h(x) dx + \dots \quad \text{при } z \in S^+ \\ \Psi_2(z) &= -\frac{z^{-1}}{\pi} \int_{-l}^l h(x) dx - \frac{z^{-2}}{\pi} \int_{-l}^l x h(x) dx - \dots \quad \text{при } z \in S^- \end{aligned} \quad (2.3)$$

Отсюда находим значения постоянных C_{11} и C_{21} в (1.5)

$$C_{11} = \frac{1}{\pi} \int_{-l}^l h(x) dx, \quad C_{21} = -\frac{1}{\pi} \int_{-l}^l h(x) dx, \quad C_{11} = -C_{21} = \pi^{-1} I \quad (2.4)$$

где I — заданная в задаче величина суммарного тока, протекающего через контакт или, что то же, интенсивность источника, помещенного в точку $z = \infty$ в области S^+ .

Второе граничное условие (1.3), учитывая (2.1) и (2.2), представим в виде

$$\frac{1+i\omega_1\tau_1}{\sigma_1} \Psi_1^+(x) + \frac{1-i\omega_1\tau_1}{\sigma_1} \Psi_1^-(x) = \frac{1+i\omega_2\tau_2}{\sigma_2} \Psi_2^+(x) + \frac{1-i\omega_2\tau_2}{\sigma_2} \Psi_2^-(x) \\ -l < x < l \quad \text{при } y = 0 \quad (2.5)$$

Отсюда, используя формулы Сохоцкого—Племеля, получаем однородное сингулярное интегральное уравнение, которому должна удовлетворять функция $h(x)$

$$(\sigma_1\omega_2\tau_2 - \sigma_2\omega_1\tau_1) h(x) + \frac{\sigma_1 + \sigma_2}{\pi} \int_{-l}^l \frac{h(t) dt}{t - x} = 0 \quad (-l < x, t < l) \quad (2.6)$$

Этому уравнению соответствует обобщенная задача линейного сопряжения (задача Римана) [3,4]; для функции $\Psi_1(z)$ она имеет вид

$$\Psi_1^+(x) = -\frac{\sigma_1 + \sigma_2 + i(\sigma_1\omega_2\tau_2 - \sigma_2\omega_1\tau_1)}{\sigma_1 + \sigma_2 - i(\sigma_1\omega_2\tau_2 - \sigma_2\omega_1\tau_1)} \Psi_1^-(z) \quad -l < x < l \quad \text{при } y = 0 \\ \Psi_1^+(x) = \Psi_1^-(x) \quad |x| > l \quad \text{при } y = 0 \quad (2.7)$$

Исходя из физического предположения о скоплении тока на концах контакта, решение краевой задачи (2.7) находим в классе функций, имеющих интегрируемые особенности в узлах a и b . Это решение, по условию (1.5), исчезает на бесконечности

$$\Psi_1(z) = C_{11} (z + l)^{-1/2-\varepsilon} (z - l)^{-1/2+\varepsilon} \\ \varepsilon = \frac{1}{\pi} \operatorname{arc tg} \frac{\sigma_1\omega_2\tau_2 - \sigma_2\omega_1\tau_1}{\sigma_1 + \sigma_2}, \quad -\frac{1}{2} < \varepsilon < \frac{1}{2} \\ ((z + l)^{-1/2-\varepsilon} (z - l)^{-1/2+\varepsilon} = \frac{1}{z} + O(z^{-2}) \text{ при } |z| \rightarrow \infty) \quad (2.8)$$

Согласно (2.4), функция $\Psi_1(z)$ должна удовлетворять условию

$$\Psi_1(z) = \overline{\Psi_1(\bar{z})}$$

из которого следует, что постоянная C_{11} должна быть действительной величиной. Из (2.8) находим все искомые поля в S^+ .

Распределение тока в S^+ определяется непосредственно функцией $\Psi_1(z)$

$$j_1(z) = j_{1x}(x, y) - ij_{1y}(x, y) = C_{11} (z + l)^{1/2-\varepsilon} (z - l)^{-1/2+\varepsilon} \text{ при } z \in S^+, \quad (2.9)$$

а на контакте ab находится по формулам Сохоцкого—Племеля

$$j_{1y}(x, 0) = h(x) = \frac{\Psi_1^-(x) - \Psi_1^+(x)}{2i} = C_{11} (l + x)^{-1/2-\varepsilon} (l - x)^{-1/2+\varepsilon} \times \\ \times \left[1 + \left(\frac{\sigma_1\omega_2\tau_2 - \sigma_2\omega_1\tau_1}{\sigma_1 + \sigma_2} \right)^2 \right]^{-1/2} \quad (-l < x < l) \quad (2.10)$$

$$j_{1x}(x, 0) = \frac{\Psi_1^+(x) + \Psi_1^-(x)}{2} = \frac{1}{\sigma_1 + \sigma_2} C_{11} (\sigma_1 \omega_2 \tau_2 - \sigma_2 \omega_1 \tau_1) (l + x)^{-1/2-\varepsilon} \times \\ \times (l - x)^{-1/2+\varepsilon} \left[1 + \left(\frac{\sigma_1 \omega_2 \tau_2 - \sigma_2 \omega_1 \tau_1}{\sigma_1 + \sigma_2} \right)^2 \right]^{-1/2} \quad (-l < x < l)$$

Постоянная C_{11} определяется из условия

$$\int_{-l}^l j_{1y}(x, 0) dx = I \quad (2.11)$$

Используя известную формулу

$$\int_{-1}^1 (1+t)^{-1/2-\varepsilon} (1-t)^{-1/2+\varepsilon} dt = \Gamma\left(\frac{1}{2}-\varepsilon\right)\left(\frac{1}{2}+\varepsilon\right) = \frac{\pi}{\cos \pi\varepsilon} \quad (2.12)$$

легко убедиться, что действительно

$$C_{11} = \pi^{-1} I \quad (2.13)$$

$$\text{Далее находим электрическое поле в } S^+ \quad (2.14)$$

$$E_1(z) = -\frac{\partial U_1}{\partial x} + i \frac{\partial U_1}{\partial y} = (1 + i\omega_1 \tau_1) \frac{I}{\pi \sigma_1} (z + l)^{-1/2-\varepsilon} (z - l)^{-1/2+\varepsilon} \quad \text{при } z \in S^+ \\ U_1(x, y) = U_1(x_0, y_0) + \operatorname{Re} \left\{ -(1 + i\omega_1 \tau_1) \frac{I}{\pi \sigma_1} \int_{z_0}^z (z + l)^{-1/2-\varepsilon} (z - l)^{-1/2+\varepsilon} dz \right\} \\ \text{при } z \in S^- \quad (2.15)$$

В формуле (2.15) интеграл выражается через элементарные функции только тогда, когда показатель степени $1/2 + \varepsilon$ — рациональное число. Положим в этом случае $1/2 + \varepsilon = p/q$ (p, q — натуральные числа; $p < q$) и применим в (2.15) подстановку

$$\left(\frac{z-l}{z+l} \right)^{1/q} = t \quad (2.16)$$

Эта подстановка приводит (2.15) к виду

$$U_1(t) = U_1(t_0) + \operatorname{Re} \left\{ -(1 + i\omega_1 \tau_1) \frac{I}{\pi \sigma_1} \int_{t_0}^t \frac{t^{p-1} dt}{1-t^q} \right\} \quad (2.17)$$

Разлагая теперь подынтегральное выражение [на простые дроби, получим вместо (2.15)]

$$U_1(x, y) = U_1(x_0, y_0) + \operatorname{Re} \left\{ -(1 + i\omega_1 \tau_1) \frac{I}{\pi \sigma_1} \frac{1}{q} \sum_{v=0}^{q-1} \exp \left[\frac{2\pi i v(p-q)}{q} \right] \times \right. \\ \left. \times \ln \left[\exp \left(\frac{i 2\pi i v}{q} \right) - \left(\frac{z-l}{z+l} \right)^{1/q} \right] \left[\exp \left(\frac{2\pi i v}{q} \right) - \left(\frac{z_0-l}{z_0+l} \right)^{1/q} \right]^{-1} \right\} \quad (2.18)$$

Формулы, аналогичные приведенным, можно получить и для области S^- , причем оказывается, что на контакте имеет место соотношение

$$j_{1x}(x, 0) = -j_{2x}(x, 0), \quad -l < x < l \quad (2.19)$$

которое является следствием полной симметрии областей S^+ и S^- в геометрическом отношении и в задании краевых условий.

Проанализируем выражения для тока (2.9), (2.10) в следующих случаях.

(а) Пусть в двух средах эффект Холла не проявляется ($\omega_1\tau_1 = \omega_2\tau_2 = 0$), а проводимость каждой из них имеет конечное значение σ_1 и σ_2 . Тогда из (2.9) — (2.10) следует

$$\begin{aligned} j_1(z) &= \frac{I}{\pi \sqrt{z^2 - l^2}} \quad \text{при } z \in S^+ \quad (2.20) \\ j_{1y}(x, 0) &= \frac{I}{\pi \sqrt{l^2 - x^2}}, \quad j_{1x}(x, 0) = 0, \\ -l < x < l \end{aligned} \quad (2.21)$$

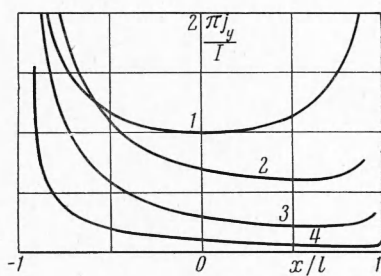
На фиг. 2 изображена качественная картина распределения силовых (сплошные кривые) и потенциальных (пунктирные кривые) линий электрического тока, описываемая выражением (2.20). Отсутствие касательной компоненты тока на контакте объясняется симметрией распределения тока в двух средах относительно оси ординат. Зависимость (2.21) иллюстрируется кривой I на фиг. 3.

(б) Рассмотрим случай, когда только в среде, занимающей область S^+ , проявляется эффект Холла ($\omega_1\tau_1 \neq 0, \omega_2\tau_2 = 0$), и по-прежнему проводимость двух сред кончина. Величины $j_1(z)$, $j_{1y}(x, 0)$ и $j_{1x}(x, 0)$ в S определяются теперь формулами

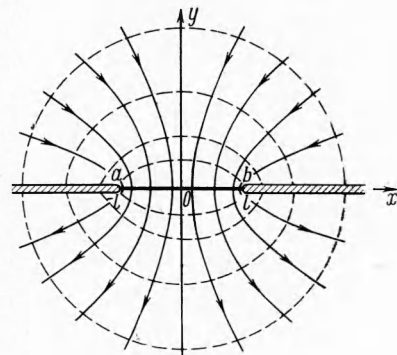
$$\begin{aligned} j_1(z) &= \frac{I}{\pi} (z + l)^{-1/2 - \varepsilon_1} (z - l)^{-1/2 + \varepsilon_1} \quad \text{при } z \in S^+ \\ j_{1y}(x, 0) &= \frac{1}{\pi} I (l + x)^{-1/2 - \varepsilon_1} (l - x)^{-1/2 + \varepsilon_1} \left(1 + \frac{\sigma_2^2 \omega_1^2 \tau_1^2}{(\sigma_1 + \sigma_2)^2} \right)^{-1/2}, \quad -l < x < l \\ j_{1x}(x, 0) &= \frac{-\sigma_2 \omega_1 \tau_1 I}{\pi (\sigma_1 + \sigma_2)} (l + x)^{-1/2 - \varepsilon_1} (l - x)^{-1/2 + \varepsilon_1} \left(1 + \frac{\sigma_2^2 \omega_1^2 \tau_1^2}{(\sigma_1 + \sigma_2)^2} \right)^{-1/2}, \quad -l < x < l \quad (2.22) \\ &\left(\varepsilon_1 = \frac{1}{\pi} \arctg \frac{-\sigma_2 \omega_1 \tau_1}{\sigma_1 + \sigma_2}, \quad 0 \leq |\varepsilon| < \frac{1}{2} \right) \end{aligned}$$

Качественная картина распределения тока, получаемая из (2.22), и аналогичных формул для области S^- , приведена на фиг. 4. Влияние эффекта Холла проявляется в искривлении линий тока на отрезке ab и в увеличении их плотности возле одного из концов контакта. Концентрация тока возле этого конца возрастает по мере увеличения параметра $\omega_1\tau_1$.

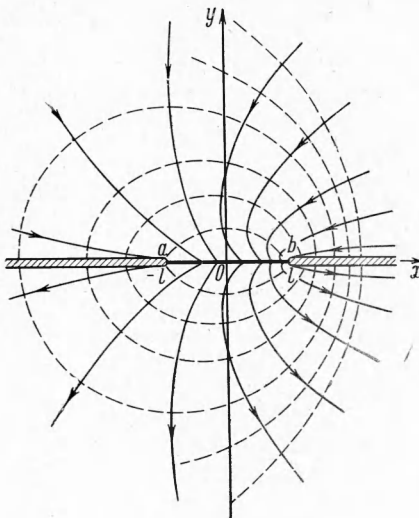
На фиг. 3 приведены кривые 2, 3 и 4, характеризующие распределение нормальной плотности тока на отрезке ab , соответственно для трех значений безразмерного параметра $\sigma_2 \omega_1 \tau_1 / (\sigma_1 + \sigma_2) = 1, 3$ и 10 (концентрация тока возле конца контакта a).



Фиг. 3



Фиг. 2



Фиг. 4

При фиксированном значении параметра $\omega_1\tau_1$ концентрацию тока на контакте можно ослабить путем уменьшения проводимости среды, занимающей область S^- .

(в) В общем случае, когда эффект Холла существует в двух средах, качественная картина распределения тока совпадает с той, которая приведена на фиг. 4, и спра-

ведливы все рассуждения пункта (б). Они, однако, нуждаются в следующем важном дополнении.

Если выполняется равенство

$$\frac{\omega_1 \tau_1}{\sigma_1} = \frac{\omega_2 \tau_2}{\sigma_2} \quad (2.23)$$

которое, учитывая (1.1), можно представить еще в виде

$$R_{1H} H_1 = R_{2H} H_2 \quad (2.24)$$

то от выражений (2.9), (2.10) приходим к формулам (2.20), (2.21), описывающих распределение тока при отсутствии эффекта Холла в двух средах. Это объясняется тем, что явление Холла при соблюдении условия (2.24) одинаково проявляется в двух средах, и его влияние на распределение тока в этом случае не оказывается (две среды ведут себя как один проводник, в котором проведены разрезы на лучах $(-\infty, -1)$, $(1, \infty)$).

Условие (2.24) можно рассматривать как предельный случай двух неравенств

$$R_{1H} H_1 > R_{2H} H_2, \quad R_{1H} H_1 < R_{2H} H_2 \quad (2.25)$$

каждое из которых указывает, возле какого из двух концов контакта возникает концентрация тока.

На контакте двух сред образуется заряженный слой, он определяется из условия

$$E_{2y} - E_{1y} = 4\pi\rho_e, \quad -l < x < l \quad \text{при } y = 0 \quad (2.26)$$

или, если использовать закон Ома, из другого условия

$$\frac{1}{\sigma_1} j_{2y}(x, 0) - \frac{\omega_2 \tau_2}{\sigma_2} j_{2x}(x, 0) - \frac{1}{\sigma_1} j_{1y}(x, 0) + \frac{\omega_1 \tau_1}{\sigma_1} j_{1x}(x, 0) = 4\pi\rho_e, \quad -l < x < l \quad (2.27)$$

Отсюда находим

$$\rho_e = \frac{1}{4\pi^2 \sigma_1 \sigma_2 (\sigma_1 + \sigma_2)} I [\sigma_1^2 (1 + \omega_2^2 \tau_2^2) - \sigma_2^2 (1 + \omega_1^2 \tau_1^2)] (l + x)^{-1/2 - \epsilon} (l - x)^{-1/2 + \epsilon} \times \\ \times \left[1 + \left(\frac{\sigma_1 \omega_2 \tau_2 - \sigma_2 \omega_1 \tau_1}{\sigma_1 + \sigma_2} \right)^2 \right]^{1/2} \quad -l < x < l \quad \text{при } y = 0 \quad (2.28)$$

После нахождения распределения линейного заряда на участке ab все основные характеристики поля в окрестности контакта определены.

Рассмотренную задачу легко обобщить на случай, когда контакт между электропроводными телами осуществляется на нескольких участках.

Поступила 17 IX 1965

ЛИТЕРАТУРА

1. W i c k R. F. Solution of the field problem of the germanium gerator. J. Appl. Phys., 1954, vol. 25, No. 6.
2. H u r w i t z H. J., K i l b R. W., S u t t o n G. W. Influence of tensor conductivity on current distribution in a MHD generator. J. Appl. Phys., 1961, vol. 32, No 2.
3. М у с х е л и ш в и л и Н. И. Сингулярные интегральные уравнения. Физматгиз, 1962.
4. Г а х о в Ф. Д. Краевые задачи. Физматгиз, 1963.
5. Е м е ц Ю. П. О распределении тока на проницаемых электродах при наличии эффекта Холла в потоке электропроводной среды. ПМТФ, 1966, № 3.